

III-182 地盤の力学モデルの差異によるシールド掘進後の後続地盤下 F, E, M 解析結果の特徴

基礎地盤コンサルタント(株) 安達 健司

" 阪上 最一
" 登 悅男

はじめに

シールド掘進後の後続地盤下は、シールド通過時に地盤内に発生した過剰間隙水圧が消散する、いわゆる圧密過程なので、Biotの圧密方程式を解くことにより求めることができます。しかし、この解用いる応力かひすみ関係、すなわち土の力学モデルは、研究的分野又は解析技術に限って言えば、より精緻なものを用いるべきであるが、実際の工事調査の実務では土質調査試験や試験内容、さらには精度、比較検証する計算結果の信頼性などの要因を考慮し、総合的に判断し決定しなければ経済的、かつ合理的な解析は行なえない。例えば、地盤を弾性体でモデル化すれば、必要な地盤の変形係数はヤング率E、Jアソシビリティであり、これらは圧密試験で得られたMvやプレシオメータ試験で得られたk0の値から次式によって計算される。

$$E = \frac{1-\nu}{1-\nu-2\nu^2} \cdot \frac{1}{M_v} \quad \dots (1) \quad \nu = \frac{k_0}{1+k_0} \quad \dots (2)$$

又、弾塑性体(CAM-CLAYモデル)でモデル化すれば、三軸CU試験からC'、φ'の強度定数や、またCU試験、圧密試験から入、K'の変形定数を決定する必要がある。

このうち土の力学モデルの決定には土質試験内容が密接に関係しており、土質調査や試験から一意的に力学モデルを決まってしまうことがあるが、土の力学モデルの差異による解析結果の特徴を知らなければ解析結果に対する適切な解釈をすることができない。そこで本研究では、CAM-CLAYモデルを用い、正規圧密、過圧密地盤のシールド掘進後の後続地盤下の計算をF, E, Mで行ない、それと地盤が弾塑性体、弾性体とした場合の解析結果の特徴について考察し、検討してみた。

1. CAM-CLAYモデル

土の力学モデルは、図-1に示すような修正CAM-CLAYモデルで、破壊後の降伏曲面を次式で定義し、せん断破壊すれば、せん断応力比Mに応じて土が強くなることを表現した。

$$df = d\left(\frac{\gamma}{M^2}\right) d\gamma (P' + P_r) + (1 + \frac{\gamma^2}{M^2}) dP' \quad \dots (3)$$

ここにγは降伏剪断、Mは破壊応力比 [$M = 6 \sin \phi' / (3 - \sin \phi')$]、γは応力比 [$\gamma = \gamma / (P' + P_r)$]、 γ は偏差応力、 P' は平均主応力]、 $P_r = C' \cot \phi'$ 、 α はせん断破壊前で1.0、破壊後で0.0001としている。

2. 解析モデルおよび解析条件

解析モデルを図-2に示す。シールドトンネルの径は直径4mで、位置は中心線でGL-23mの箇所である。そしてGL-6.5mに地下水位、モデル底部の下方、GL-35m以降には砂利層があり、これらの水理境界を通して排水される。解析に用いた地盤定数は次の通りである。

初期間隙比/ $e_0 = 1.3$ 、変形定数/ $\lambda = 0.25$ 、 $K = 0.03$ 、 $\nu = 0.4$ 、強度定数/ $C' = 8.8$ 、 $\phi' = 30^\circ$ 、透水係数/ $K = 10^{-7} \text{ m/sec}$ 。

これらは典型的な軟弱地盤の定数である。なお、トンネルセグメントはコンクリートの定数とした。そして、解析は次の通りとした。(Ppは

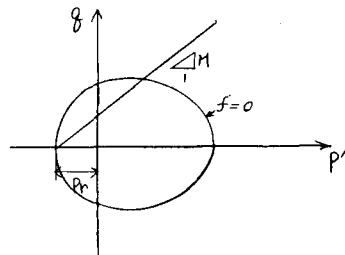


図-1. 修正CAM-CLAYモデル

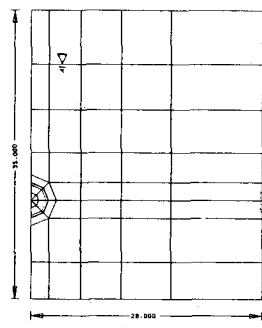


図-2. 解析モデル

先行圧密荷重)

ケースA… 正規圧密状態($P_p = 1.0 \text{ t/cm}^2$)とし、弾塑性体のモデル化

ケースB… 過圧密状態($P_p = 300 \text{ t/cm}^2$)とし、弾性体のモデル化

また、図-3に初期地盤の過剰間隙水圧分布を示す。シールド掘進後での計算結果から水圧分布は、トンネル周囲で高い水圧を有する分布とした。

3. 解析結果および考察、検討

図-4, 5にケースA, B, それぞれの圧密開始時より約1年経過した時点での地盤の変位を示す。また、図-6, 7に圧密開始より約11日経過した時点でのケースA, B, それぞれの過剰間隙水圧分布を示す。図-4, 5より、地盤内変位および地表面沈下量とも塑性ひずみ成分の分だけケースAの方がケースBより、さらに大きいことがわかる。さらに地盤内鉛直変位は前者の方が後者より、シールド中心へむかうにつれて極端に大きくなっている様子である。又、図-6, 7より過剰間隙水圧分布は、水位線とモデル底面を反映して、トンネル周囲に近くほど高く、排水層に近くほど低いシールドを中心とした同心円状のコンターラインとなるが、明らかにケースAの方がケースBより水圧の消散が遅くなっている。これは、正規圧密と過圧密状態では前者が後者より m_v が小さく、前者の方が圧密係数 C_v が大きくなるためである。

$$C_v = k / (\rho_w \cdot m_v) \quad \dots (4)$$

ここで ρ_w は水の単体重量である。

また、水圧分布のパターンは、ケースAでは地盤の塑性化がセグメント周囲および排水距離の短いシールド中心を通る鉛直線附近で大きいため、上下面排水層にコンターラインがひっぱられるよう逆形になつている。最後に、図-8に、A, B両ケースのトンネル直上の地表面の沈下量と時間の関係を整理した図を示す。

以上から、地盤を弾性、弾塑性でモデル化した場合の解析結果は、塑性化的領域に違いがあることが明らかとなつた。今後、計算結果と対比し現行の土質調査の精度と適合する力学モデルのあり方の検討を進めてゆきたいと考えている。

最後に、東京電力㈱送变電建設本部の御依頼により開発したプログラム「SHIELD-II」を用いて計算した。よってここに深謝の意を表します。

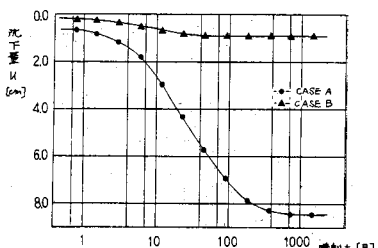


図-8. 沈下量と時間の関係

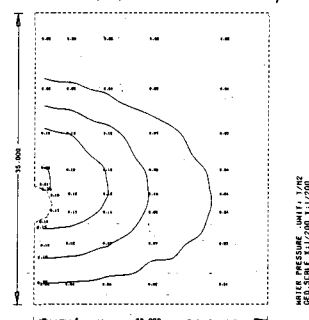


図-7. ケースB 約11日経過後の過剰間隙水圧分布

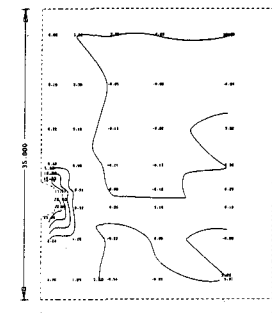


図-3. 初期過剰間隙水圧分布

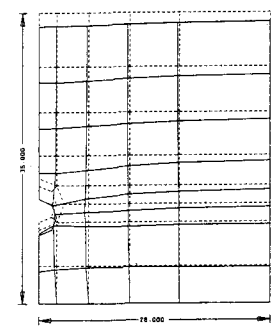


図-4. ケースA(変形)

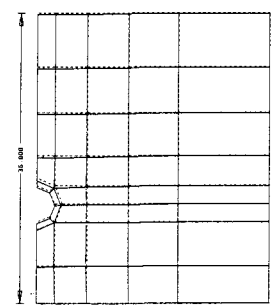


図-5. ケースB(変形)

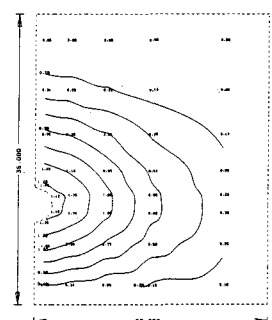


図-6. ケースA